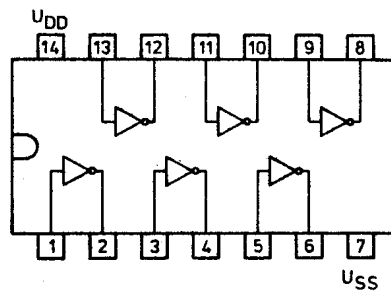


**MCY 74069N**  
**MCY 64069N**  
Sześciokrotny inwerter

SSI, CMOS  
Bramka aluminiowa

Obudowa CE 70

Układ wyprowadzeń



74069

**Parametry dopuszczalne**

/ $U_{SS} = 0 \text{ V}$ /

Oznaczenie	Nazwa	Jedn.	Wartość		
			min	max	
$U_{DD}$	Napięcie zasilania	V	-0,5	+20	
$U_I$	Napięcie wejściowe	V	-0,5	$U_{DD} + 0,5$	
$I_I$	Prąd wejściowy	mA	-10	+10	
$P_D$	Moc rozpraszana	mW		500	
$t_{amb}$	Temperatura otoczenia w czasie pracy	MCY 74....N	°C	-40	+85
		MCY 64....N	°C	0	+70
			°C	-55	+125
$t_{stg}$	Temperatura przechowywania	°C	-55	+125	

## Parametry charakterystyczne statyczne

Oznaczenie	Nazwa	Jedn.	Wartość							Warunki pomiaru		
			$t_{amb \min}$		+25°C			$t_{amb \max}$		$U_I$	$U_O$	$U_{DD}$
			min	max	min	typ	max	min	max	[V]	[V]	[V]
$I_{DD}$	Prąd zasilania w stanie spoczynku	$\mu A$		0,25 0,5 1 5		0,01 0,01 0,01 0,02	0,25 0,5 1 5		7,5 15 30 150	0;5 0;10 0;15 0;20	5 10 15 20	
$U_{IH}$	Napięcie wejściowe w stanie wysokim	V	4 8 12,5		4 8 12,5			4 8 12,5		0,5 1 1,5	5 10 15	
$U_{IL}$	Napięcie wejściowe w stanie niskim	V		1 2 2,5			1 2 2,5		1 2 2,5	4,5 9,0 13,5	5 10 15	
$I_I$	Prąd wejściowy	$\mu A$		$\pm 0,1$		$\pm 10^{-5}$	$\pm 0,1$			$\pm 0,1$	0;18 18	
$U_{OH}$	Napięcie wyjściowe w stanie wysokim	V	$U_{DD}-0,05$		$U_{DD}-0,05$	$U_{DD}$		$U_{DD}-0,05$		0	5;10;15	
$U_{OL}$	Napięcie wyjściowe w stanie niskim	V		0,05		0	0,05		0,05	$U_{DD}$	5;10;15	
$I_{OH}$	Prąd wyjściowy w stanie wysokim	mA	-0,64 -2 -1,6 -4,2		-0,51 -1,6 -1,3 -3,4	-1 -3,2 -2,6 -6,8		-0,36 -1,15 -0,9 -2,4		0;5 0;5 0;10 0;15	4,6 2,5 9,5 13,5	5 5 10 15
$I_{OL}$	Prąd wyjściowy w stanie niskim	mA	0,64 1,6 4,2		0,51 1,3 3,4	1 2,6 6,8		0,36 0,9 2,4		0;5 0;10 0;15	0,4 0,5 1,5	5 10 15

$t_{amb \min} = -40^{\circ}C$  dla MCY 64.....;  $0^{\circ}C$  dla MCY 74.....

$t_{amb \max} = +85^{\circ}C$  dla MCY 64.....;  $+70^{\circ}C$  dla MCY 74.....

## Parametry charakterystyczne dynamiczne

$t_{amb} = +25^{\circ}C$ ;  $t_r = t_f = 20 \text{ ns}$ ,  $C_L = 50 \text{ pF}$ ,  $R_L = 200 \text{ k}\Omega$  /

Oznaczenie	Nazwa	Jedn.	Wartość		Warunki pomiaru $U_{DD}$ [V]
			typ	max	
$t_{PLH}$	Czas propagacji zmiany stanu z niskiego na wysoki	ns	55	110	5
$t_{PHL}$			30	60	10
	Czas propagacji zmiany stanu z wysokiego na niski		25	50	15
$t_{TLH}$	Czas narastania zbocza sygnału wyjściowego	ns	100	200	5
$t_{THL}$			50	100	10
	Czas opadania zbocza sygnału wyjściowego		40	80	15
$C_I$	Pojemność wejściowa	pF	10	15	